УСТРОЙСТВО ДЛЯ ОПРЕДЕЛЕНИЯ АМПЛИТУДНО-ФАЗОЧАСТОТНЫХ ХАРАКТЕРИСТИК ТОКОВЫХ ШУНТОВ

Рыжова А.О., Заревич А.И.

Томский политехнический университет, Институт кибернетики antonzarevich@ngs.ru

Ключевые слова: Динамические характеристики, токовый шунт, преобразование Фурье.

Введение

Для измерения больших токов в условиях значительных электромагнитных помех традиционно используются токовые шунты [1, 2]. При этом амплитуда измеряемых токов может достигать десятков кА, а сами токи могут иметь сложную форму огибающей и сложный спектральный состав. Необходимо принять во внимание и то, что частотный спектр больших токов может включать компоненты с частотами до нескольких десятков кГц.

Определение динамических характеристик шунтов осложнено из-за их конструктивных свойств, очень низкого сопротивления и широкого динамического и частотного рабочего диапазонов, что определяет высокие требования к измерительному оборудованию.

Текущее состояние проблемы

В настоящее время существуют такие устройства определения амплитудно-ДЛЯ частотных характеристик (АЧХ) и фазочастотных характеристик (ФЧХ) токовых шунтов, как [3-5]. Они имеют ряд недостатков, например: низкая точность определения АЧХ, невозможность определения ФЧХ; ограниченный частотный диапазон измерения; влияние на определяемые АЧХ и ФЧХ шунта погрешности квантования аналого-цифровых преобразователей (АЦП).

Целью статьи является описание разработанного на кафедре КИСМ ИК ТПУ устройства для определения АЧХ и ФЧХ токовых шунтов, созданного на основе прототипа [5], принципиальная схема которого представлена на рис. 1.

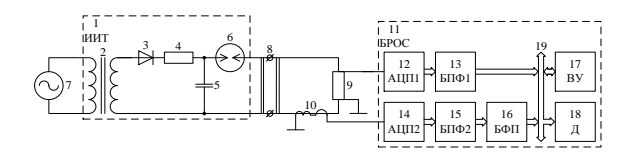


Рис. 1 – Схема устройства-прототипа.

Устройство содержит источник импульсного тока 1, в котором к первому выводу вторичной обмотки повышающего сетевого трансформатора 2 подключен однополупериодный выпрямитель 3, к которому через резисторный ограничитель тока заряда 4 подключен емкостной накопитель энергии 5, соединенный со вторым выводом вторичной

обмотки повышающего сетевого трансформатора 2. Между резисторным ограничителем тока заряда и контактными клеммами 8 коммутатор 6. Первичная обмотка повышающего сетевого трансформатора 2 подключена к промышленному источнику напряжения переменного тока 7 с действующим значением выходного напряжения 220 В. Тестируемый шунт 9 подключен к выходным клеммам 8 через эталонный трансформатор тока 10.

Блок регистрации и обработки сигнала (БРОС) 11 содержит два АЦП 12, 14, к которым подключены блоки быстрого преобразования Фурье (БПФ): 13, 15. 15 соединен с блоком функционального преобразования (БФП) 16.

Вычислительное устройство 17, БПФ 13, БФП 16 и дисплей 18 связаны через общую шину данных 19.

Описание устройства

Устройство предназначено для контроля и определения динамических метрологических характеристик при производстве и эксплуатации токовых шунтов. Его принципиальная схема представлена на рис. 2.

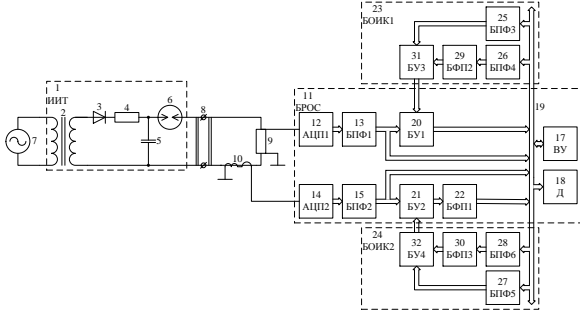


Рис. 2 – Схема устройства для определения AЧX и ФЧX токовых шунтов.

Устройство содержит элементы прототипа, описанные выше. Кроме того, в БРОС к (БПФ) 13, 15 подключены блоки умножения (БУ) 20, 21. Последний соединен с первым блоком функционального преобразования (БФП) 22.

Также предлагаемое устройство содержит два блока определения идеализированных коэффициентов обратной передачи АЦП 23 и 24.

Эти блоки идентичны и каждый из них содержит по два БПФ 25, 26 и 27, 28, по одному БФП 29 и 30 и по БУ 31 и 32.

Все цифровые устройства связаны через общую шину данных 19.

Блоки АЦП реализованы с помощью АЦП AD6649, блоки преобразования Фурье – с

помощью цифровых сигнальных процессоров ADSP-21467 и ADSP-21991, блоки умножения – с помощью микроконтроллеров ADSP-TS201S, а вычислительное устройство 17 – помощью микропроцессора ADSP-BF523.

Работа устройства

Тестируемый шунт подключают к источнику импульсного тока; источник импульсного тока подключают к источнику напряжения переменного тока, напряжение которого повышают сетевым трансформатором до напряжения, на 50 % превышающего напряжение срабатывания коммутатора (газоразрядного устройства). Выходное напряжение сетевого трансформатора выпрямляют однополупериодным выпрямителем и через резисторный ограничитель тока заряда заряжают им накопитель энергии. При достижении напряжением на накопителе энергии значения пробоя газоразрядного устройства, срабатывает, при этом на выходных клеммах импульсного источника тока развивается напряжение, и накопитель энергии разряжается через тестируемый шунт.

Сигналы с выходов тестируемого шунта и эталонного трансформатора тока поступают на входы блока регистрации и обработки сигнала, где с помощью АЦП и БПФ получают два массива чисел, соответственно $\{S_{m,i}\}$ и $\{S_{\tau,i}\}$, где i — номер числа в массиве.

Преобразованные сигналы подают на входы блоков БУ, получая на выходе массивы чисел $\{S2_{m,i}\}$ и $\{S2_{r,i}\}$. Последний дополнительно, подают на вход блока БФП1, который выполняет поэлементное обратно пропорциональное преобразование поступившего на его вход массива чисел: $\{S3_{Ti}\} = \{1 / S2_{Ti}\}$. Далее, массивы чисел ${S_{m,i}}, {S_{r,i}}$ и ${S3_{r,i}}$ подают в вычислительное устройство, которое для каждого из массивов по известному критерию [6] определяет ширину спектров сигналов с выходов тестируемого шунта Δf_{III} и эталонного трансформатора тока Δf_{T} . Далее вычислительное устройство формирует два тестовых сигнала в форме дельта-функции, которые сохраняют в памяти данного устройства с максимальной для него разрядностью, выполняет понижение разрядности до разрядности соответствующего АЦП и результаты этих операций также сохраняют в памяти устройства в виде массивов данных.

Далее соответствующие массивы данных с пониженной разрядностью подают на входы блоков БПФ3 и БПФ5, с максимальной разрядностью – на входы блоков БПФ4 и БПФ6, которые дополнительно подают на входы блоков БФП2 и БФП3. Сигналы с выходов блоков БПФ3, БПФ5 и БФП2 и БФП3 поступают на входы БУ3 и БУ4.

Массивы чисел, сформированные с использованием блоков определения идеализированных коэффициентов обратной передачи АЦП подают на входы БУ1 и БУ2.

После этого вычислительное устройство определяет массив данных, соответствующий комплексному коэффициенту передачи шунта, реализуя поэлементное умножение массивов, определение значений частот быстрого преобразования Фурье и разделение комплексного коэффициента передачи шунта на модуль и аргумент. При этом модуль комплексного коэффициента передачи шунта является его АЧХ, а аргумент — ФЧХ. Визуализацию АЧХ и ФЧХ шунта производят посредством дисплея.

Заключение

Предложенная конструкция позволяет определить идеализированные коэффициенты обратной передачи первого и второго АЦП. Поэлементное умножение массивов данных этих коэффициентов и спектров сигналов с выходов тестируемого шунта и эталонного трансформатора тока повышает эквивалентную разрядность этих сигналов и, таким образом, осуществляется снижение влияние погрешности квантования первого и второго АЦП на определяемые АЧХ и ФЧХ тестируемого шунта.

Список литературы

- 1. Векслер М.С., Теплинский А.М. Шунты переменного тока. Л.: Энергоатомиздат, 1987. 120 с.
- 2. Muravyov S.V., Borikov V.N., Natalinova N.M. A computer system: measurement of welding surge currents // Measurement and Control. $-2009. V. 42. N_{2} 3. P. 44-47.$
- 3. Измеритель относительных амплитудночастотных характеристик: пат. RU 2291452 C2, МПК G01R27/28 (2006.01), опубл. 01.11.2001.
- 4. Cherbaucich C., Crotti G., Kuljaca N., Novo M. Evaluation of the dynamic behaviour of heavy current shunts // Metrology in the 3rd Millennium: Proc. XVII IMEKO World Congress. 22–27 June, 2003. Dubrovnik, Croatia, 2003. P. 586–589.
- 5. Заревич А.И., Муравьев С.В., Бедарева Е.В., Карпенко С.Р. Импульсный метод определения частотных характеристик сильноточных шунтов // Известия Томского политехнического университета. -2012.-T.321.-N 4. -C.137-140.
- 6. Гутников В.С. Фильтрация измерительных сигналов. Л.: Энергоатомиздат. Ленингр. отд-ние, 1990. 192 с.